

НЕКОТОРЫЕ ВОПРОСЫ ОПТИМАЛЬНОГО ПРИЕМА СИГНАЛОВ С УЧЕТОМ ДИСПЕРСИОННЫХ СВОЙСТВ КАНАЛА

В последнее время на практике находят все большее применение системы, использующие сложные широкополосные сигналы. Между тем, наличие дисперсии в канале (зависимости фазовой скорости электромагнитной волны от частоты) вызывает искажение сигнала, прошедшего некоторый путь в канале. Причем искажения тем больше, чем шире полоса частот сигнала.

В предлагаемой работе делается попытка отыскания алгоритмов построения оптимальных байесовых приемников бинарных сигналов при различных условиях распространения радиоволн на фоне нормального белого шума. В работе также производится оценка помехоустойчивости обычного корреляционного приемника при поступлении на его вход сигнала, прошедшего некоторое расстояние в канале (ионосфере).

§ 1. Математическая модель канала с дисперсией и аппарат исследования

Передаточная функция канала:

$$\mu(\omega) = |\mu(\omega)| e^{i\psi(\omega)}. \quad (1)$$

Предположим, что $|\mu(\omega)| = \text{const}$ в полосе частот, занимаемой сигналом.

Используя известные выражения из [1, 2], аппроксимируя зависимость электронной концентрации от высоты параболой [3], получим фазочастотную характеристику ионосферного канала для случая $f \gg f_{\text{кр}}$ в следующем виде:

$$\varphi(z, f) = \gamma(z)f + \frac{\nu(z)}{f}, \quad (2)$$

$$\begin{cases} \gamma(z) = \frac{2\pi(z+z_0)}{c} \\ v(z) = \frac{80,8\pi N_m}{3cz_m^2} (z^3 - 3z_m z^2). \end{cases} \quad (3)$$

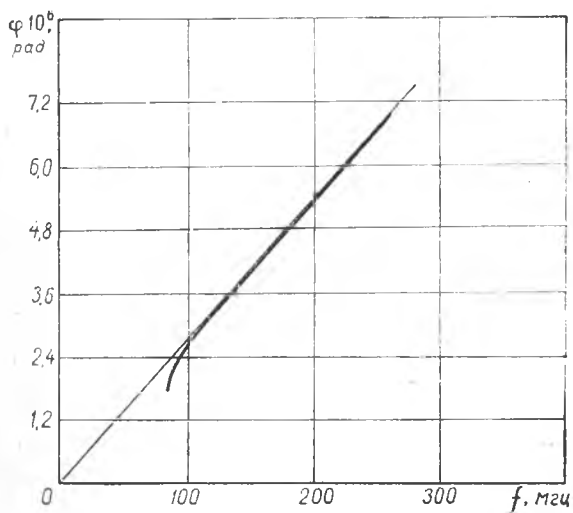


Рис. 1

Очевидно, что функция $v(z)$ в пределах ионосферного параболического слоя везде отрицательна.

На рис. 1 представлена фазочастотная характеристика при следующих исходных данных [4].

$$z_0 = 150 \text{ км}$$

$$z = 2z_m = 500 \text{ км};$$

$$z_m = 250 \text{ км};$$

$$N_m = 1,8 \cdot 10^6 \text{ см}^{-3}.$$

Выясним теперь вопрос о распределении вероятностей флуктуирующих величин.

Пусть передатчик излучает радиосигнал $S(t)$. На выходе приемника сигнал в сумме с помехой (нормальный белый шум) будет иметь вид:

$$\xi(t) = S'(t) + n(t), \quad (4)$$

где $S'(t)$ — сигнал на входе приемника;

$n(t)$ — аддитивная флуктуационная помеха.

Представим (4) в виде ряда Фурье [5] на интервале анализа T .

$$\xi(t) = \sum_{k=1}^h (A_k \cos k\Omega t + B_k \sin k\Omega t), \quad (5)$$

где

$$\begin{cases} A_k = \alpha_k + \mu_k (a_k \cos \varphi_k + b_k \sin \varphi_k), \\ B_k = \beta_k + \mu_k (b_k \cos \varphi_k - a_k \sin \varphi_k). \end{cases} \quad (6)$$

При анализе случайных величин $\mu_k \cos \varphi_k = u_k$ и $\mu_k \sin \varphi_k = v_k$ рассмотрим два случая:

1. $\mu_k = \mu = \text{const}$ и случайной величиной является φ_k , флуктуации которой вызваны изменениями электронной плотности во времени. Этот случай соответствует относительно медленным колебаниям электронной концентрации (часовым, суточным и т. п.).

2. Быстрые флуктуации электронной концентрации, обусловленные тонкой структурой ионосферы (образованием и исчезновени-

ем мелкомасштабных неоднородностей, перемещениями этих неоднородностей в пространстве и т. д.). Имеет смысл предположить в этом случае распределение вероятности величин u_k и v_k нормальными, считая, что число причин, вызывающих флуктуации параметров u_k и v_k , достаточно велико.

Рассмотрим эти случаи более подробно.

Предположим, что $\mu_k = \mu = \text{const}$ во всей полосе частот сигнала. Найдем распределение вероятностей для φ_k , предполагая распределение вероятностей для случайной величины $N(z)$ нормальным с математическим ожиданием m_N и дисперсией G_N^2 .

Выражая из (2) и (3) $\varphi(z, f)$ через N_m

$$\varphi(z, f) = a(z_1 f) N_m + b(z_1 f), \quad (7)$$

где

$$\begin{cases} a(z, f) = \frac{80,8\pi(z^3 - 3zmz^2)}{3cz_m^2 f} \\ b(z, f) = \gamma(z) f. \end{cases} \quad (8)$$

и предполагая, что при флуктуациях $N(z)$ величины z_0 и z_m остаются постоянными (по экспериментальным данным [4], получим выражение для распределения вероятностей фаз k -той частотной компоненты спектра сигнала

$$W(\varphi_k) = \frac{1}{G_k \sqrt{2\pi}} \exp \left[-\frac{(\varphi_k - m_k)^2}{2G_k^2} \right], \quad (9)$$

где

$$\begin{cases} G_k^2 = |a(z, f)|^2 G_N^2, \\ m_k = a(z, f) m_n + b(z_1 f). \end{cases} \quad (10)$$

Таким образом, случайная величина φ_k распределена также по нормальному закону с математическим ожиданием и дисперсией, зависящими от частоты и от высоты z , причем с увеличением частоты дисперсия уменьшается.

Так как флуктуации фазы любой компоненты спектра сигнала вызываются одной и той же причиной, а именно флуктуациями электронной концентрации N_m , а между всеми фазами спектра существует аналитическая связь (2), то, согласно [7]. K -мерная плотность вероятности запишется в следующем виде:

$$W_k(\varphi_1, \dots, \varphi_k) = \frac{\exp \left[-\frac{(\varphi_1 - m_1)^2}{2G_1^2} \right]}{G_1 \dots G_k \sqrt{2\pi}} \prod_{k=2}^K \delta \left(\frac{\varphi_k - m_k}{G_k} - \frac{\varphi_1 - m_1}{G_1} \right), \quad (11)$$

где $\delta(x - x_0)$ — функция Дирака.

Перейдем к рассмотрению второго случая.

Как уже полагалось выше, распределение вероятностей случайных величин $u_k = \mu_k \cos \varphi_k$ и $v_k = \mu_k \sin \varphi_k$ считаем нормальными с параметрами m_{1k} , G_{1k}^2 и m_{2k} , G_{2k}^2 соответственно.

Предположим, что между всеми μ_k ($k=1, 2, \dots$) в полосе частот сигнала существует аналитическая связь (плоскочастотный фединг). Для упрощения примем $\mu_k = \mu = \text{const}$ во всей полосе частот сигнала.

В этом случае коэффициент корреляции между u_k, u_{k+e} (v_k, v_{k+e}) равен 1. Тогда K -мерные плотности вероятностей запишутся следующим образом:

$$\left\{ \begin{aligned} W_K(u_1, \dots, u_K) &= \frac{\exp \left[-\frac{(u_1 - m_{11})^2}{2G_{11}^2} \right]}{G_{11} \dots G_{1k} \sqrt{2\pi}} \prod_{k=2}^K \delta \left(\frac{u_k - m_{1k}}{G_{1k}} - \frac{u_1 - m_{11}}{G_{11}} \right), \\ W_K(v_1, \dots, v_K) &= \frac{\exp \left[-\frac{(v_1 - m_{21})^2}{2G_{21}^2} \right]}{G_{11} \dots G_{2k} \sqrt{2\pi}} \prod_{k=2}^K \delta \left(\frac{v_k - m_{2k}}{G_{2k}} - \frac{v_1 - m_{21}}{G_{21}} \right). \end{aligned} \right. \quad (12)$$

2. Пусть $\mu = \mu(\omega)$, причем корреляция между μ_k и μ_{k+e} равна 0, т. е. любая пара значений μ_k и μ_{k+e} будет флуктуировать независимо друг от друга (селективный фединг). Тогда случайные величины u_k и u_{k+e} (v_k и v_{k+e}) будут некоррелированы. При этом K -мерные плотности вероятностей соответственно для случайных величин u_k и v_k примут вид [7]

$$\left\{ \begin{aligned} W_K(u_1, \dots, u_K) &= \prod_{k=1}^K \frac{1}{G_{1k} \sqrt{2\pi}} \exp \left[-\frac{(u_k - m_{1k})^2}{2G_{1k}^2} \right], \\ W_K(v_1, \dots, v_K) &= \prod_{k=1}^K \frac{1}{G_{2k} \sqrt{2\pi}} \exp \left[-\frac{(v_k - m_{2k})^2}{2G_{2k}^2} \right]. \end{aligned} \right. \quad (13)$$

§ 2. Пути построения оптимальных бинарных байесовых приемников радиосигналов с учетом дисперсионных свойств ионосферы

Для случая приема бинарных детерминированных сигналов отношение правдоподобия можно записать в виде [5, 6]

$$\lambda = \frac{\exp \left\{ -\frac{1}{N_0} \int_0^T [\xi(t) - S_r(t)]^2 dt \right\}}{\exp \left\{ -\frac{1}{N_0} \int_0^T [\xi(t) - S_l(t)]^2 dt \right\}} = h_0, \quad (14)$$

при $r = 1, 2$ и $l \neq r$.

Употребляя запись сигналов в виде рядов Фурье и выражая ко-

коэффициенты Фурье похи α_k , и β_k из (6), получим следующее выражение для отношения правдоподобия;

$$\lambda = \frac{\exp \left\{ -\frac{1}{2G_0^2} \sum_{k=1}^K \mu_k^2 (a_{1k}^2 - b_{1k}^2) + \sum_{k=1}^K (X_{1k} \cos \varphi_k + Y_{1k} \sin \varphi_k) \right\}}{\exp \left\{ -\frac{1}{2G_0^2} \sum_{k=1}^K \mu_k^2 (a_{2k}^2 + b_{2k}^2) - \sum_{k=1}^K (X_{2k} \cos \varphi_k + Y_{2k} \sin \varphi_k) \right\}} = h_0, \quad (15)$$

где

$$\begin{cases} X_{ik} = \frac{\mu_k}{G_0^2} (A_k a_{ik} + B_k b_{ik}), \\ Y_{ik} = \frac{\mu_k}{G_0^2} (A_k b_{ik} - B_k a_{ik}). \end{cases} \quad (16)$$

$i = 1, 2$

Для нахождения алгоритма построения решающей схемы необходимо усреднить (15) по флуктуирующим параметрам $\mu_k = \mu_k \cos \varphi_k$ и $\nu_k = \mu_k \sin \varphi_k$.

Случай медленных флуктуаций электронной плотности ($\mu_k = \mu = \text{const}$). При этом K -мерная плотность вероятностей фаз спектра сигнала определяется выражением (11) и усредненное отношение правдоподобия Λ будет иметь вид (приближенно для случая малого отношения сигнал-шум).

$$\Lambda = \sum_{k=1}^K [(X_{1k} - X_{2k}) \cos m_k + (Y_{1k} - Y_{2k}) \sin m_k] \exp \left(-\frac{G_k^2}{2} \right) = H_0, \quad (17)$$

где $H_0 = h_0 e^{\tau^2} - 1, \quad (18)$

$$\tau^2 = \frac{\mu^2}{2G_0^2} \sum_{k=1}^K [(a_{2k}^2 - a_{1k}^2) + (b_{2k}^2 - b_{1k}^2)]. \quad (19)$$

Таким образом, приемник должен состоять из K узкополосных фильтров, выделяющих частотные компоненты принятого колебания. Дальнейшие операции над выделенными частотными составляющими будут производиться согласно правилу (17).

Коэффициенты Фурье A_k и B_k выделяются из принятой реализации сигнал плюс шум с помощью схемы, приведенной в [5].

Случай быстрых флуктуаций электронной концентрации (коррелированные). Алгоритм оптимальной обработки принятого колебания будет иметь вид:

$$\Lambda = \frac{2}{P_{1k} P_K} \exp \left\{ \left[\frac{\sum_{k=1}^K [G_{1k} (X_{1k} - X_{2k}) + Q_{1k}]}{P_{1k}} \right]^2 \right\} +$$

$$+ \left[\frac{\sum_{k=1}^K [G_{2k}(Y_{1k} - Y_{2k}) + Q_{2k}]}{P_{2k}} \right]^2 + \left. \sum_{k=1}^K [m_{1k}(X_{1k} - X_{2k}) + m_{2k}(Y_{1k} - Y_{2k})] + R_k \right\} \equiv h_0, \quad (20)$$

где

$$P_{1k} = 2 \sum_{k=1}^K \left(\frac{1}{2} - \gamma^2 G_{1k}^2 \right),$$

$$P_{2k} = 2 \sum_{k=1}^K \left(\frac{1}{2} - \gamma^2 G_{2k}^2 \right), \quad (21)$$

$$Q_{1k} = 2\gamma^2 G_{1k} m_{1k},$$

$$Q_{2k} = 2\gamma^2 G_{2k} m_{2k},$$

$$R_k = \sum_{k=1}^K \gamma^2 (m_{1k}^2 + m_{2k}^2).$$

Учитывая монотонный характер показательной функции и логарифмируя обе части (20), получим, что решение о наличии сигнала $S_1(t)$ или $S_2(t)$ можно принимать на основании сравнения с некоторым порогом H_0 величины

$$l = \frac{1}{P_{1k}^2} \left\{ \sum_{k=1}^K [G_{1k}(X_{1k} - X_{2k})] \right\}^2 + \frac{1}{P_{2k}^2} \left\{ \sum_{k=1}^K [G_{2k}(Y_{1k} - Y_{2k})] \right\}^2 + \sum_{k=1}^K m_{1k}(X_{1k} - X_{2k}) + \sum_{k=1}^K m_{2k}(Y_{1k} - Y_{2k}) \equiv H_0, \quad (22)$$

где

$$H_0 = \ln h_0 + \ln \frac{P_{1k} - P_{2k}}{2} - R_K. \quad (23)$$

Быстрые некоррелированные флуктуации концентрации электронов в ионосфере. После усреднения отношения правдоподобия (15) с весом (13) получим оптимальное правило решения

$$\Lambda = \prod_{k=1}^K \frac{2}{P_{1k} P_{2k}} \exp \left\{ \left[\frac{G_{1k}(X_{1k} + X_{2k}) + Q_{1k}}{P_{1k}} \right] + \left[\frac{G_{2k}(Y_{1k} - Y_{2k}) + Q_{2k}}{P_{2k}} \right]^2 + m_{1k}(X_{1k} - X_{2k}) + m_{2k}(Y_{1k} - Y_{2k}) + R_k \right\} \equiv h_0, \quad (24)$$

где

$$\begin{cases} P_{1k} = 1 - 2\gamma^2 G_{1k}^2, \\ P_{2k} = 1 - 2\gamma^2 G_{2k}^2, \\ Q_{1k} = 2\gamma^2 G_{1k} m_{1k}, \\ Q_{2k} = 2\gamma^2 G_{2k} m_{2k}, \\ R_k = \gamma^2 (m_{1k}^2 + m_{2k}^2) \end{cases} \quad (25)$$

Логарифмируя обе части (24) и вынося параметры, не содержащие информации о принимаемом колебании, в значение порога, получим

$$l = \sum_{k=1}^K \left\{ \left[\frac{G_{1k}(X_{1k} - X_{2k}) + Q_{1k}}{P_{1k}} \right]^2 + \left[\frac{G_{2k}(Y_{1k} - Y_{2k}) + Q_{2k}}{P_{2k}} \right]^2 + m_{1k}(X_{1k} - X_{2k}) + m_{2k}(Y_{1k} - Y_{2k}) \right\} \cong h_0. \quad (26)$$

где

$$H_0 = \ln h_0 + \sum_{k=1}^K \left(\ln \frac{P_{1k} + P_{2k}}{2} - R_k \right). \quad (27)$$

§ 3. Оценка помехоустойчивости корреляционного приемника бинарных сигналов, на вход которого поступают сигналы, прошедшие некоторый путь в ионосфере

Логарифм отношения правдоподобия для данного приемника, в общем случае имеет вид [6]

$$q = \frac{2}{N_0} \int_0^T \xi(t) [S_1(t) - S_2(t)] dt \cong h, \quad (28)$$

где $S_1(t)$ и $S_2(t)$ — ожидаемые (опорные) сигналы.

Перепишем (28) в виде ряда Фурье

$$q = \frac{1}{G_0^2} \sum_{k=1}^K [A_k(a_{1k} - a_{2k}) + B_k(b_{1k} - b_{2k})] \cong h. \quad (28a)$$

Ограничимся случаем бинарной симметричной системы [6]. При этом $h=0$.

Предположим, что передается сигнал $S_1(t)$. В этом случае, используя выражение (6), имеем

$$\begin{aligned} \sum_{k=1}^K [(a_{1k}^2 + b_{1k}^2 - a_{1k}a_{2k} - b_{1k}b_{2k})u_k + (b_{2k}a_{1k} - b_{1k}a_{2k})v_k] > \\ > \sum_{k=1}^K [\alpha_k(a_{2k} - a_{1k}) + \beta_k(b_{2k} - b_{1k})], \end{aligned}$$

где

$$u_k = \mu_k \cos \varphi_k; \quad v_k = \mu_k \sin \varphi_k.$$

Обозначим

$$E' = \frac{1}{2} \sum_{k=1}^K [(a_{1k}^2 + b_{1k}^2 - a_{1k} a_{2k} - b_{1k} b_{2k}) u_k + (b_{2k} a_{1k} - b_{1k} a_{2k}) v_k], \quad (30)$$

$$\tau_i = \sum_{k=1}^K [\alpha_k (a_{2k} - a_{1k}) + \beta_k (b_{2k} - b_{1k})]. \quad (31)$$

При фиксированных значениях u_k и v_k случайная величина η имеет нормальное распределение вероятностей с математическим ожиданием и дисперсией, равными соответственно:

$$\begin{aligned} m(\eta) &= 0, \\ D(\eta) &= G_0^2 \sum_{k=1}^K [(a_{2k} - a_{1k})^2 + (b_{2k} - b_{1k})^2]. \end{aligned} \quad (32)$$

Вероятность ошибки P — вероятность того, что случайная величина η превысит $2E'$ (нарушится неравенство (29) [5]:

$$p = \frac{1}{2} \left[1 - \Phi \left(\frac{2E'}{\sqrt{D(\eta)}} \right) \right], \quad (33)$$

где Φ_x — функция Крампа.

Для нахождения вероятности ошибки p данного приемника, необходимо усреднить (33) по флуктуирующим параметрам u_k и v_k , распределения вероятностей которых описываются выражениями (11—13).

1) Случай медленных флуктуаций электронной плотности. При этом вероятность ошибки

$$\begin{aligned} \bar{p} &= \frac{1}{2} \left\{ 1 - \frac{1}{\sqrt{2\pi}} \int_{-\infty}^{\infty} \Phi \left[\frac{\sum_{k=1}^K [\mu_k L_k \cos(G_k \xi_1 + m_k) - \mu_k T_k \sin(G_k \xi_1 + m_k)]}{\sqrt{D(\eta)}} \right] \times \right. \\ &\quad \left. \times \exp \left(-\frac{\xi_1^2}{2} \right) d\xi_1 \right\}, \end{aligned} \quad (34)$$

где

$$\begin{cases} L_k = (a_{1k}^2 + b_{1k}^2 - a_{1k} a_{2k} - b_{1k} b_{2k}), \\ T_k = (b_{2k} a_{1k} - b_{1k} a_{2k}). \end{cases} \quad (35)$$

2) Быстрые коррелированные флуктуации:

$$\bar{p} = \frac{1}{2} \left\{ 1 - \frac{1}{2\pi} \iint_{-\infty}^{\infty} \Phi \left[\frac{\sum_{k=1}^K L_k (G_{1k} x + m_{1k}) + T_k (G_{2k} y + m_{2k})}{\sqrt{D(\eta)}} \right] \times \right.$$

$$\times \exp \left[-\frac{x^2 + y^2}{2} \right] dx dy \quad (36)$$

3) Быстрые некоррелированные флуктуации электронной плотности. Вероятность ошибки примет вид

$$\begin{aligned} \bar{p} = \frac{1}{2} & \left\{ 1 - \frac{1}{G_{11} \dots G_{1K} G_{21} \dots G_{2K} (2\pi)^K} \int_{-\infty}^{\infty} \dots \int_{-\infty}^{\infty} \Phi \left[\frac{\sum_{k=1}^K (L_k u_k + T_k v_k)}{\sqrt{D(\eta)}} \right] \times \right. \\ & \left. \langle \exp \left[-\frac{1}{2} \sum_{k=1}^K \left(\frac{u_k - m_{1k}}{G_{1k}} \right)^2 - \frac{1}{2} \sum_{k=1}^K \left(\frac{v_k - m_{2k}}{G_{2k}} \right)^2 \right] du_1 \dots du_K dv_1 \dots dv_K \right\} \quad (37) \end{aligned}$$

Таким образом, очевидно, что полученные вероятности ошибок будут больше вероятности ошибки данного приемника, принимающего сигналы из свободного пространства при одних и тех же энергиях излучаемых сигналов.

ЛИТЕРАТУРА

1. М. П. Долуханов. Распространение радиоволн. Связьиздат, 1965.
2. Ф. Б. Черный. Распространение радиоволн. Изд-во «Советское радио», 1954.
3. В. Л. Гинзбург. Распространение электромагнитных волн в плазме. Изд-во «Наука», 1967.
4. Я. Л. Альперт. Распространение радиоволн и ионосфера. Изд-во АН СССР, 1960.
5. Л. М. Финк. Теория передачи дискретных сообщений. Изд-во «Советское радио», 1963.
6. В. И. Тихонов. Статистическая радиотехника. Изд-во «Советское радио», 1966.
7. Б. Р. Левин. Теоретические основы статистической радиотехники. Изд-во «Советское радио», 1966.
8. В. Б. Давенпорт, В. Л. Рут. Введение в теорию случайных сигналов и шумов. Пер. с англ. под ред. Добрушина Р. Л. Изд-во иностр. лит., 1960.
9. Е. С. Вентцель. Теория вероятностей. Физматгиз, 1964.
10. И. С. Градштейн, И. М. Рыжик. Таблицы интегралов, сумм, рядов и произведений. Физматгиз, 1962.